

硝化作用に及ぼす海水濃度の影響に関する研究

東北大学工学部

正員 ○川崎重明

"

学生員 沢井龍司

"

正員 松本順一郎

まことに、一般に河川水中にみられる硝化作用は主として河床に付着増殖した生物膜中の硝化菌によるものである。河川の感潮部においては、潮汐により海水が遡上し、河床の付着生物も海水の影響を受けることが予想される。そこで、図1に示す連続実験装置によって混合培養の付着生物膜の硝化作用に及ぼす海水濃度の影響を検討したところ、図2に示す様な結果が得られた。すなはち、海水濃度が0~10%の間では、亜硝酸・硝酸生成速度は随に海水濃度の増加に伴って上昇する。一方、海水濃度が10%以上になると、亜硝酸生成速度は緩やかに増加するが、硝酸生成速度は減少する。そこで、海水濃度による硝化活性を比較する為に連続実験の定常期の生物膜を使って回分実験を行なったのでその結果を報告する。

2. 実験および分析 小生物：連続実験の定常期（海水濃度40

および50%）の生物膜を全て反応槽中にかけ落し、これを適心濃縮（3,000 rpm 15 min × 2）してのちホモジナイズ（25 W 90秒）した生物を回分実験の植種生物として使用した。（ii）実験装置：恒温水槽（20 °C）中に2 lビーカーを設置しこれに散気球を取り付け 1 l/min で通気した。（iii）実験手順：2 lビーカーに表2に示す各Run a基質（NH₄Clを除く）1.5 lを入れ、これと(i)

の生物を植種したのち、NH₄Clを所定の濃度にならうように添加し実験を開始した。

尚、海水は表1に示す組成の人工海水を用いた。また、実験は光合成活性の増殖をあわえる為に暗条件で行なった。（iv）分析：分析はSS（グラスファイバーフィルター GS25）およびpH（電極法）の測定を採水と同時に行なった。アンモニア性窒素（イソニアール法）、亜硝酸性窒素（メチルカルアミン・スルファニル酸法）、硝酸性窒素（Ca-Cu還元カラム法）の測定は冷凍保存下試料を用いて行なった。

3. 実験結果および考察

(a) 経時変化について 図3および図4にRun 40-CおよびRun 50-Cの経時変化を示す（-○- : NH₄-N, -●- : (NO₂+NO₃)-N, -▲- : NO₂-N）。窒素の回収率 (NH₄N + NO₂-N + NO₃-N) は95%以上であるのでアンモニアストリップによる影響は少ないと考えられる。初期 NH₄-N 濃度 2.5 mg/l の場合約10時間で、5 mg/l の場合約14時間で、10 mg/l の場合18~20時間で NH₄のはほとんどが N₂O₃ に酸化される。しかし初期 NH₄-N 濃

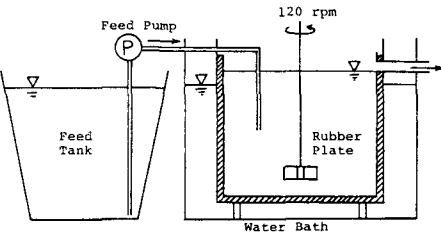


図1. 連続実験装置の概要

表1. 人工海水の組成 g/L

NaCl	23.476
MgCl ₂ ·6H ₂ O	10.64
Na ₂ SO ₄	3.917
CaCl ₂ ·2H ₂ O	1.46
KCl	0.664
NaHCO ₃	0.192
KBr	0.096
H ₃ BO ₃	0.026
SrCl ₂ ·6H ₂ O	0.04

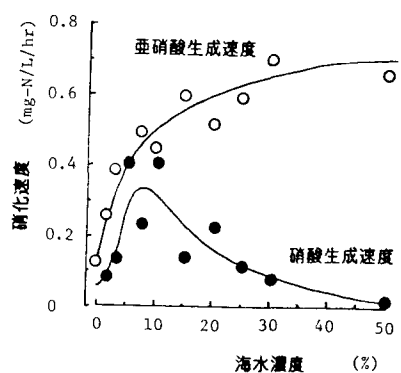


図2. 海水濃度と硝化速度の関係（連続実験）

表2. 基質組成

	Sea Water (%)	NH ₄ Cl (mg-N/l)	KH ₂ PO ₄ (mg-P/l)	Na ₂ HPO ₄ (mg-P/l)
Run 40-A	40	2.5		
Run 40-B	40	5.0		
Run 40-C	40	10.0		
Run 40-D	40	20.0	0.6	1.5
Run 50-A	50	2.5		
Run 50-B	50	5.0		
Run 50-C	50	10.0		
Run 50-D	50	20.0		

度 20 mg/l の場合には 3 mg/l 程度の $\text{NH}_4\text{-N}$ が残ってしまう。これは $\text{pH} 6$ 程度まで下がるでこの影響によるものだと考えられる。また、SSは $\text{NH}_4\text{-N}$ が消費されるまではほとんど変化しない。図3および図4より、50%海水の時の方が $\text{NO}_2\text{-N}$ の蓄積量が多くなる。連続実験の滞留時間である4時間のところを見ると、40%海水の時(図3)には $\text{NO}_3\text{-N}$ で多く存在するに対し、50%海水の時(図4)には $\text{NO}_2\text{-N}$ で多く存在している。したがって、海水濃度の増加によって、 $\text{NO}_2\text{-N}$ から $\text{NO}_3\text{-N}$ への酸化速度は減少するものと考えられる。これは、連続実験での $\text{NO}_2\text{-N}$ から $\text{NO}_3\text{-N}$ への酸化速度の低下と一致している。しかしながら、時間の経過とともに $\text{NO}_2\text{-N}$ は酸化されて $\text{NO}_3\text{-N}$ となる。固分実験と連続実験では条件がかなり異なるので一概には言えないが、連続実験でも滞留時間を十分にとることによって $\text{NO}_3\text{-N}$ までの酸化の可能性があることを示している。

(b) 反応速度 硝化作用は次の様な二段階の反応であるから、亜硝酸生成量を考える時には、その時点での NO_2^- と NO_3^- の和を考えればよい。したがって、経時変化の $\text{NO}_2\text{-N}$ と $\text{NO}_3\text{-N}$ の初期の復元から亜硝酸生成速度を求め、その差数と初期 $\text{NH}_4\text{-N}$ 濃度の逆数の関係をプロットすると図5の様になる。したがって、亜硝酸生成速度は、次の様な Michaelis-Menten 式で表わされ、定数は海水濃度によりそれなりに次のようになる。

$$V = \frac{V_{max} S}{K_m + S}$$

$$40\% \text{ 海水} \quad V_{max} = 0.021 (\text{mg-N}/\text{mg-SS}/\text{hr})$$

$$K_m = 1.13 (\text{mg-N/l})$$

$$50\% \text{ 海水} \quad V_{max} = 0.024$$

$$K_m = 1.22$$

この K_m の値は Knowles らの $0.8 \sim 1.7$, Painter らの 1 , Stratton らの $1.25 \sim 5.59$ 等の値に近い値であり満足できるものとなっている。海水濃度によって V_{max} の値は変化する。

4. ふつりに 本研究によて得られた結果は次の様なものである。

- 海水濃度が40%から50%に増加すると、硝酸生成速度が減少し亜硝酸の蓄積量が増加する。
- 亜硝酸生成速度は Michaelis-Menten 型の式によって表わすことができる。
- 海水濃度の増加によって V_{max} は増加する。

しかしながら、2つの海水濃度だけでは不十分であるので、さらに濃度を変えて実験を行なう方針である。

尚本研究は文部省科学研究費(環境科学特別研究(1))の補助を受けて行なったことを付記する。

参考文献 1) 海洋観測指針 2) 川崎他、昭38回年講 文部 p637

3) Loveless & Painter, J. gen. Microbiol (1968), 52, 1~14

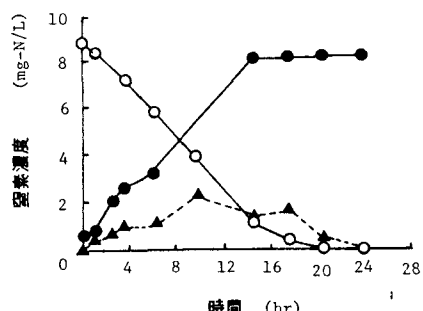


図3. Run 40-C の経時変化

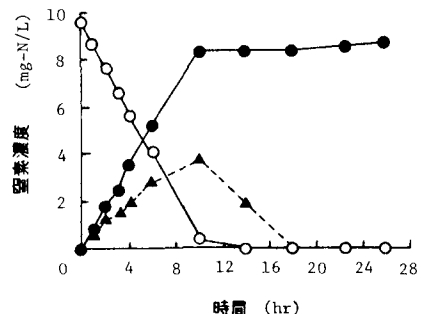


図4. Run 50-C の経時変化

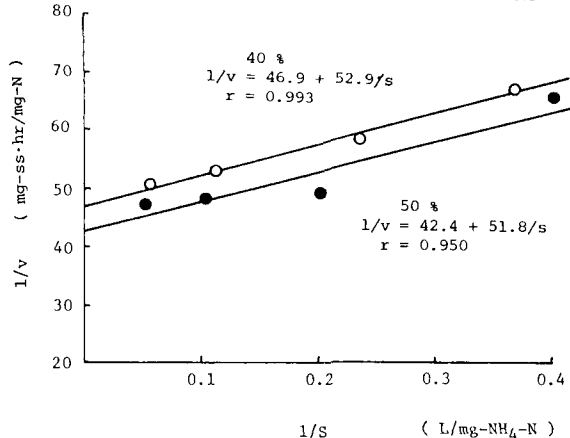


図5. 固分実験のLineweaver-Burk プロット